

ОБЩИЕ ВОПРОСЫ АВТОМЕТРИИ

УДК 681.142.82

В. В. ГУБАРЕВ -

(Новосибирск)

ПОГРЕШНОСТИ НЕПОСРЕДСТВЕННОГО И ЗНАКОВЫХ СПОСОБОВ ИЗМЕРЕНИЯ КОРРЕЛЯЦИИ ПО ОГРАНИЧЕННЫМ ДАННЫМ

К настоящему времени известно немало работ, посвященных применению корреляционного анализа в различных областях науки и техники и описанию различных алгоритмов и приборов, предназначенных для вычисления оценок корреляционных функций (см., например, [1—4] и литературу в [1—4]). Вместе с тем лишь в немногих работах, например в 3, 5—11, приводится анализ погрешностей вычисления и то, как правило, для непосредственного* и отчасти для полярного алгоритмов; причем сравнения погрешностей различных алгоритмов не производятся.

Цель настоящей статьи — на примере нормальных стационарных эргодических случайных процессов провести сравнительный анализ дисперсий оценок корреляционных функций, вычисляемых по ограниченным экспериментальным данным по непосредственному, релейному, полярному и цифро-полярному** алгоритмам при непрерывном и выборочном способах осреднения произведений.

ДИСПЕРСИЯ ОЦЕНОК АВТО- И ВЗАИМНЫХ КОРРЕЛЯЦИОННЫХ ФУНКЦИЙ

1. *Математическое ожидание оценок.* Для рассматриваемых алгоритмов выборочная оценка корреляционной функции стационарного эргодического случайного процесса в общем виде может быть представлена как

$$R_{f_1(\xi) f_2(\eta)}^*(\tau) = \frac{1}{N} \sum_{n=1}^N \chi(n \Delta t; \tau), \quad (1)$$

а непрерывная —

$$R_{f_1(\xi) f_2(\eta)}^*(\tau) = \frac{1}{T} \int_0^T \chi(t; \tau) dt, \quad (2)$$

* Часто употребляются термины: аналоговый, пропорциональный, амплитудный.

** Цифро-полярный алгоритм [4, 12] основан на использовании знака одного сигнала и квантованных по уровню значений другого.

где $\chi(t; \tau) = f_1[\xi(t) - M\{\xi(t)\}]f_2[\eta(t+\tau) - M\{\eta(t+\tau)\}]$; $f_1[x(t)]$ — нелинейное преобразование случайного процесса $x(t)$, определяемое способом дискретизации $x(t)$ по амплитуде; N — объем выборки — число осредненных пар отсчетов; T — интервал осреднения; $\Delta t = \frac{T}{N}$ — интервал выборки; M — символ операции математического ожидания. В дальнейшем полагаем процессы центрированными, т. е.

$$M\{\xi(t)\} = M\{\eta(t)\} = 0.$$

Применяя к (1) и (2) операцию математического ожидания и меняя местами суммирование и осреднение по множеству, получаем

$$M\{R_{f_1(\xi) f_2(\eta)}^*(\tau)\} = M\{\chi(t; \tau)\} = R_{f_1(\xi) f_2(\eta)}(\tau), \quad (3)$$

где $R_{f_1(\xi) f_2(\eta)}(\tau)$ — взаимная корреляционная функция процессов $f_1[\xi(t)]$ и $f_2[\eta(t)]$. Для непосредственного, релейного и полярного алгоритмов вычисления оценок корреляционных функций нормальных центрированных стационарных эргодических случайных процессов имеем:

$$R_{\xi\eta}(\tau) = \sigma_\xi \sigma_\eta \rho_{\xi\eta}(\tau); \quad (4)$$

$$R_{\xi \text{ sign } \eta}(\tau) = \sqrt{\frac{2}{\pi}} \sigma_\xi \rho_{\xi\eta}(\tau); \quad (5)$$

$$R_{\text{sign } \xi \text{ sign } \eta}(\tau) = \frac{2}{\pi} \arcsin \rho_{\xi\eta}(\tau). \quad (6)$$

Здесь σ_ξ — среднеквадратическое отклонение процесса $\xi(t)$; $\rho_{\xi\eta}(\tau)$ — коэффициент корреляции сигналов $\xi(t)$ и $\eta(t+\tau)$. Для цифро-полярного алгоритма $f_2[\eta(t+\tau)] = \text{sing } \eta(t+\tau)$, $f_1[\xi(t)] = \xi_{\text{кв}}(t) = \xi(t) + \varepsilon(t)$, где $\xi_{\text{кв}}(t)$ — квантованные по уровню значения сигнала $\xi(t)$; $\varepsilon(t) = \Phi[\xi(t)]$ — шум квантования. Ограничивааясь рассмотрением только нормальных центрированных стационарных сигналов и наиболее целесообразных в этом случае квантователей с $c=q$, $d=0,5q$ и $c=0,5q$, $d=0$ (рис. 1), из [12] находим

$$R_{\xi_{\text{кв}} \text{ sign } \eta}(\tau) = \sqrt{\frac{2}{\pi}} \sigma_\xi \rho_{\xi\eta}(\tau) \left[1 + 2 \sum_{k=1}^{\infty} \nu^k \times \right. \\ \left. \times \exp \left\{ - \frac{2\pi^2 k^2}{\beta^2} [1 - \rho_{\xi\eta}^2(\tau)] \right\} {}_1F_1 \left\{ 1; \frac{3}{2}; - \frac{2\pi^2 k^2 \rho_{\xi\eta}^2(\tau)}{\beta^2} \right\} \right]. \quad (7)$$

Здесь $\beta = \frac{q}{\sigma_\xi}$ — относительный интервал квантования по уровню сигнала $\xi(t)$; ${}_1F_1[a; b; x]$ — вырожденная гипергеометрическая функция; $\nu = \begin{cases} -1 & \text{для квантователя I с } c=0,5q, d=0; \\ +1 & \text{для квантователя II с } c=q, d=0,5q. \end{cases}$

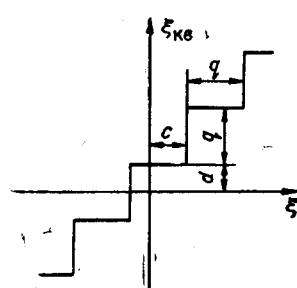


Рис. 1. Выходная характеристика квантователя по уровню.

Подробно функция (7) исследована в [12], где показано, что независимо от типа квантователя при $q \rightarrow 0$ цифро-полярная корреляционная функция (7) переходит в релейную (5), а с увеличением интервала квантования стремится к нулю при использовании квантователя I и к $\frac{q}{2} R_{\text{sign } \xi \text{ sign } \eta}(\tau)$ при использовании квантователя II.

2. Дисперсия оценок при некоррелированной выборке. Легко показать, что дисперсия оценки цифро-полярной корреляционной функции при некоррелированной выборке равна

$$\sigma^2 [R_{\xi_{KB} \text{ sign } \eta}^*(\tau)] = \frac{1}{N} [\sigma_{\xi_{KB}}^2 - R_{\xi_{KB} \text{ sign } \eta}^2(\tau)]. \quad (8)$$

Для рассматриваемых сигналов и квантovателей

$$\sigma_{\xi_{KB}}^2 = \sigma_{\xi}^2 \left\{ 1 + \frac{\beta^2}{12} + \sum_{k=1}^{\infty} \nu^k \left(4 + \frac{\beta^2}{k^2 \pi^2} \right) \exp \left[-\frac{2\pi^2 k^2}{\beta^2} \right] \right\}.$$

Из (8) предельным переходом $\eta \rightarrow 0 (\beta \rightarrow 0)$ для релейного алгоритма получаем

$$\sigma^2 [R_{\xi \text{ sign } \eta}^*(\tau)] = \frac{\sigma_{\xi}^2}{N} \left[1 - \frac{2}{\pi} \rho_{\xi \eta}^2(\tau) \right]. \quad (9)$$

При $\nu = +1$ ($c = q$; $d = 0,5 q$) и ($\beta \rightarrow \infty$) для полярного алгоритма имеем

$$\begin{aligned} \sigma^2 [R_{\text{sign } \xi \text{ sign } \xi}^*(\tau)] &= \lim_{\beta \rightarrow \infty} \frac{4}{\beta^2 \sigma_{\xi}^2} \sigma^2 [R_{\xi_{KB} \text{ sign } \eta}^*(\tau)] = \\ &= \frac{1}{N} \left\{ 1 - \left[\frac{2}{\pi} \arcsin \rho_{\xi \eta}(\tau) \right]^2 \right\}. \end{aligned} \quad (10)$$

Соотношения (9) и (10) могут быть получены также непосредственно [8]. Наконец, значение дисперсии оценки непосредственной корреляционной функции равно

$$\sigma^2 [R_{\xi \eta}^*(\tau)] = \frac{\sigma_{\xi}^2 \sigma_{\eta}^2}{N} [1 + \rho_{\xi \eta}^2(\tau)]. \quad (11)$$

Соотношения (8)–(11) пригодны как для авто-, так и для взаимных корреляционных функций и могут быть применены для определения нормированных $\delta_R(\tau)$ или относительных $\Delta_R(\tau)$ среднеквадратических погрешностей оценок корреляционных функций:

$$\delta_R(\tau) = \frac{\sigma [R_{f_1(\xi) f_2(\eta)}^*(\tau)]}{R_{f_1(\xi) f_2(\eta)}(\rho = 1)}; \quad (12)$$

$$\Delta_R(\tau) = \frac{\sigma [R_{f_1(\xi) f_2(\eta)}^*(\tau)]}{R_{f_1(\xi) f_2(\eta)}(\tau)}. \quad (13)$$

Для рассматриваемых алгоритмов зависимости $\delta_R^2(\tau)$ и $\Delta_R(\tau)$ от значений $\rho_{\xi \eta}(\tau)$ приведены на рис. 2 и 3. Как следует из рисунков, при больших $\rho(\tau)$ оценки релейных, цифро-полярных и полярных корреляционных функций в среднем точнее оценок непосредственных, полученных вычислением по той же выборке. Однако увеличение точности получается за счет потери информации о мощности случайных процессов.

На рис. 2, а представлены кривые, изображающие степень изменения дисперсии оценки цифро-полярной корреляционной функции при изменении β . Как видно из рис. 2 и 3, при уменьшении β (увеличении числа уровней квантования в диапазоне изменения входного сигнала) дисперсия оценки цифро-полярной корреляционной функции приближается к дисперсии оценки релейной корреляционной функции независимо

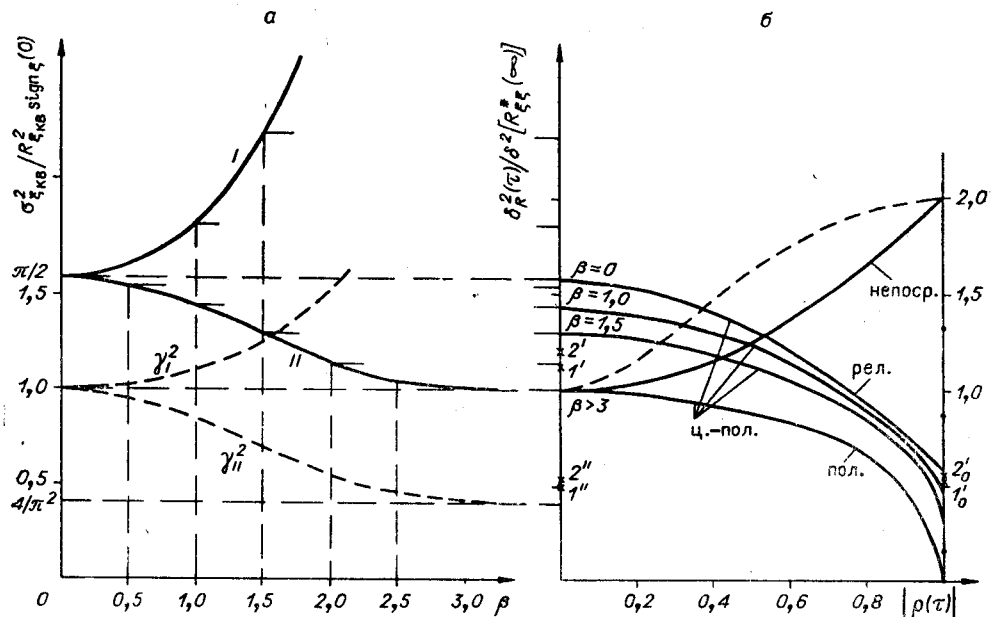


Рис. 2. Соотношение между нормированными дисперсиями оценок ненормированных корреляционных функций, получаемых осреднением некоррелированных парных выборок.

от типа квантователя. При больших β использование квантователя I приводит к резкому увеличению дисперсии, в то время как при использовании квантователя II нормированная дисперсия оценки цифро-полярной корреляционной функции ограничена и при увеличении β приближается к дисперсии оценки полярной корреляционной функции. Поведение нормированной дисперсии при произвольных β и $\rho(\tau)$ видно из рис. 2.

3. Дисперсия оценок при коррелированной выборке и при непрерывном алгоритме. Согласно приложению 1, дисперсия общей оценки (1) равна

$$\sigma^2 [R_{f_1(\xi)f_2(\eta)}^*(\tau)] = \frac{1}{N} [R_x(0; \tau) + 2 \sum_{k=1}^{N-1} \left(1 - \frac{k}{N}\right) R_x(k \Delta t; \tau)], \quad (14)$$

Рис. 3. Зависимость относительных среднеквадратических отклонений оценок ненормированных корреляционных функций от коэффициента корреляции.

где

$$R_x(\theta; \tau) = M \{\chi(t; \tau) \chi(t + \theta; \tau)\} - R_{f_1(\xi)f_2(\eta)}^2(\tau)$$

— корреляционная функция процесса $\chi(t; \tau)$. Выражение $\sigma_R^2(\tau)$ для оценки (2), т. е. для непрерывного способа осреднения, может быть получено из (14), если при $N\Delta t = T = \text{const}$ устремить Δt к нулю. Тогда умножая и деля (14) на Δt и переходя в пределе к интегралу, найдем

$$\sigma^2 [R_{f_1(\xi)f_2(\eta)}^*(\tau)]_{\text{непр}} = \frac{2}{T} \int_0^T \left(1 - \frac{\theta}{T}\right) R_x(\theta; \tau) d\theta. \quad (15)$$

Как следует из приведенных ниже результатов, для получения приемлемых погрешностей вычисления оценок корреляционных функций необходимо выполнение условия $T \gg \tau_{\text{кx}}$, где $\tau_{\text{кx}}$ — время корреляции процесса $\chi(t)$, определяемое из условия $|\rho(\tau \geq \tau_{\text{кx}})| \leq 0,05$. Поэтому вместо (15) можно без больших погрешностей использовать более удобную оценку дисперсии (15):

$$\delta^2 [R_{f_1(\xi) f_2(\eta)}^*(\tau)] \approx \frac{2}{T} \int_0^\infty R_x(\theta; \tau) d\theta. \quad (16)$$

В общем виде найти выражение дисперсий (14) и (16) для релейного или полярного, а тем более для цифро-полярного алгоритмов затруднительно. Поэтому прежде всего остановимся на значениях $\sigma_R^2(\tau)$ для непрерывных релейного и полярного алгоритмов вычисления оценок автокорреляционных функций при $\tau=0$ и $\tau=\infty$. Первое из них может быть применено для оценки погрешностей вычисления оценок авто- и взаимных корреляционных функций при равных и близких к единице $\rho(\tau)$, второе — при τ , близких к $\tau_{\text{кx}}$, т. е. при вычислении «хвоста» корреляционных функций.

Подставляя в (16) соответствующие значения $R_x(\theta; 0)$ и $R_x(\theta; \infty)$ (см. приложение 1) и производя деление на $R_{f_1(\xi) f_2(\xi)}^*(0)$, получим [8]:

для релейного непрерывного алгоритма

$$\begin{aligned} \delta^2 [R_{\text{sign } \xi}^*(0)] &= \frac{2}{T} \int_0^\infty [\rho_{\xi\xi}(\theta) \arcsin \rho_{\xi\xi}(\theta) + \\ &+ \sqrt{1 - \rho_{\xi\xi}^2(\theta)} - 1] d\theta = (0,5 \div 0,57) \frac{2}{T} \int_0^\infty \rho_{\xi\xi}^2(\theta) d\theta; \end{aligned} \quad (17a)$$

$$\delta^2 [R_{\text{sign } \xi}^*(\infty)] = \frac{2}{T} \int_0^\infty \rho_{\xi\xi}(\theta) \arcsin \rho_{\xi\xi}(\theta) d\theta = (1 \div 1,57) \frac{2}{T} \int_0^\infty \rho_{\xi\xi}^2(\theta) d\theta; \quad (17b)$$

для полярного непрерывного алгоритма

$$\delta^2 [R_{\text{sign } \xi}^*(0)] = 0; \quad (18a)$$

$$\begin{aligned} \delta^2 [R_{\text{sign } \xi}^*(\infty)] &= \frac{2}{T} \int_0^\infty \left[\frac{2}{\pi} \arcsin \rho_{\xi\xi}(\theta) \right]^2 d\theta = \\ &= (0,405 \div 1) \frac{2}{T} \int_0^\infty \rho_{\xi\xi}^2(\theta) d\theta; \end{aligned} \quad (18b)$$

для цифро-полярного алгоритма

$$\begin{aligned} \delta^2 [R_{\xi_{\text{KB}} \text{ sign } \xi}^*(\infty)] &= \frac{1}{R_{\xi_{\text{KB}} \text{ sign } \xi}^*(0)} \frac{2}{T} \int_0^\infty R_{\xi_{\text{KB}} \xi_{\text{KB}}}(\theta) \times \\ &\times R_{\text{sign } \xi \text{ sign } \xi}(\theta) d\theta = \left[\gamma^2 \div \frac{\sigma_{\xi_{\text{KB}}}^2}{R_{\xi_{\text{KB}} \text{ sign } \xi}^*(0)} \right] \frac{2}{T} \int_0^\infty \rho_{\xi\xi}^2(\theta) d\theta; \end{aligned} \quad (19)$$

$$R_{\xi_{KB} \xi_{KB}}(\theta) = \sigma_\xi^2 \left\{ 1 + 4\rho_{\xi\xi}(\theta) \sum_{k=1}^{\infty} v^k \exp \left\{ -\frac{2\pi^2 k^2}{\beta^2} \right\} - \right.$$

$$\left. + \frac{\beta^2}{\pi^2} \sum_{k=1}^{\infty} \sum_{n=-1}^{\infty} \frac{v^{k+n}}{kn} \exp \left\{ -\frac{2\pi^2 (k^2 + n^2)}{\beta^2} \right\} \operatorname{sh} \frac{4\pi^2 k n \rho_{\xi\xi}(0)}{\beta^2} \right\},$$

где $\gamma = \frac{R_{\xi \operatorname{sign} \xi}(0)}{R_{\xi_{KB} \operatorname{sign} \xi}(0)} \left[1 + 2 \sum_{k=1}^{\infty} v^k \exp \left\{ -\frac{2\pi^2 k^2}{\beta^2} \right\} \right]$. (20)

Вид кривой γ^2 в функции от β представлен на рис. 2, а штриховой линией.

Конечный результат в (17)–(19) указывает диапазон, в котором может находиться $\delta_R^2(0)$ или $\delta_R^2(\infty)$ при определенной зависимости $\rho(\tau)$. В качестве примера на рис. 2, б отображены значения дисперсий, определенных по точным формулам из (17), (18) для корреляционных функций $\rho_1(\tau) = \exp\{-\alpha|\tau|\}$, $\rho_2(\tau) = \exp\{-(\alpha\tau)^2\}$.

Сравним (17)–(19) с соответствующими значениями нормированной дисперсии непосредственного непрерывного алгоритма [5, 6, 8]:

$$\delta^2 [R_{\xi\xi}^*(\tau)] \approx \frac{2}{T} \int_0^\infty [\rho_{\xi\xi}^2(\theta) + \rho_{\xi\xi}(\theta + \tau) \rho_{\xi\xi}(\theta - \tau)] d\theta; \quad (21)$$

$$\delta^2 [R_{\xi\xi}^*(0)] \approx \frac{4}{T} \int_0^\infty \rho_{\xi\xi}^2(\theta) d\theta; \quad (22)$$

$$\delta^2 [R_{\xi\xi}^*(\infty)] \approx \frac{2}{T} \int_0^\infty \rho_{\xi\xi}^2(\theta) d\theta. \quad (23)$$

Из (17)–(23) и рис. 2, б видно, что значения кривых при $\rho(0)=1$ и $\rho(\infty)=0$ можно считать оценкой сверху для соответствующих значений дисперсий при непрерывном алгоритме. При этом $\delta^2 [R_{\xi\xi}^*(\infty)]$ определяется соотношением (23). Поведение нормированных дисперсий непрерывных оценок при произвольных значениях $\rho(\tau)$, вообще говоря, отличается от поведения кривых рис. 2, б и зависит от вида функции $\rho(\tau)$. Так, например, для непосредственного алгоритма кривая рис. 2, б полностью совпадает с соответствующей кривой при $\rho(\tau) = \exp\{-(\alpha\tau)^2\}$ и изображает оценку сверху для дисперсии оценки корреляционной функции $R(\tau) = R(0) \exp\{-(\alpha\tau)^2\} \cos \omega t$, в то время как для корреляционной функции $R(\tau) = R(0) \exp\{-\alpha|\tau|\}$ кривая располагается выше (см. штриховую кривую рис. 2, б) и изображает оценку сверху для дисперсии оценок корреляционной функции $R(\tau) = R(0) \exp\{-\alpha|\tau|\} \cos \omega t$. Вывод о том, что дисперсии оценок колебательно-затухающих корреляционных функций не превышают дисперсий оценок огибающих, непосредственно яствует из (21). В общем случае при любых $\rho(\tau)$ для дисперсии при непосредственном алгоритме существует оценка сверху, определяемая соотношением (22) [6]. Для релейного, полярного и цифро-полярного алгоритма в качестве такой оценки можно принять большие значения правой части соответственно из (17)–(19). Из (17)–(23) видно, что при непрерывном осреднении относительные дисперсии оценок знаковых функций могут быть в среднем по кривой меньше относительных дисперсий оценок непосредственной функции.

Теперь рассмотрим степень сходимости выборочного алгоритма к непрерывному и влияние коррелированности выборки на величину дисперсии. Данный анализ можно провести непосредственным подсчетом дисперсии выборочной оценки по формуле (14) для каждого из рассматриваемых алгоритмов. Необходимые выражения для $R_x(\theta; \tau)$ приведены в приложении 1. Однако, учитывая связь дисперсий релейного, цифро-полярного и полярного алгоритмов с дисперсией непосредственного алгоритма (17)–(23), основанную на связи между соответствующими функциями $R_x(\theta; \tau)$, можно весь анализ провести по непосредственному алгоритму.

Необходимые зависимости между дисперсиями непосредственных оценок некоторых корреляционных функций представлены на рис. 4. Правда, кривые рис. 4 строго справедливы лишь для $\tau=0$ и $\tau=\infty$, но с

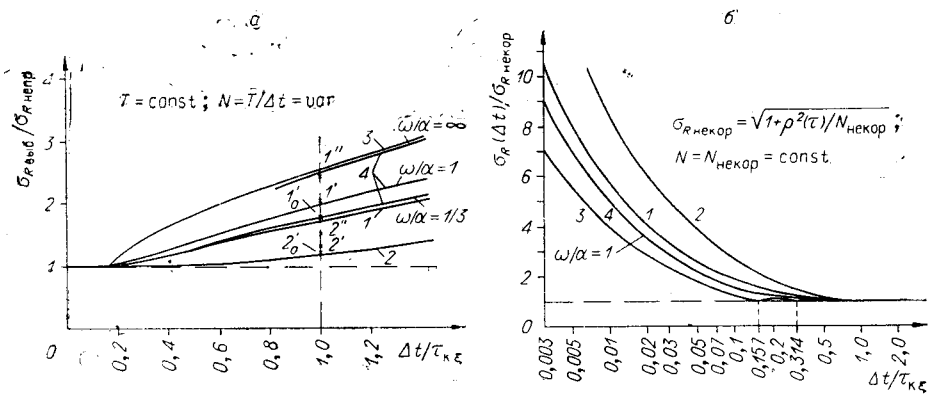


Рис. 4. Зависимость среднеквадратических отклонений оценок непосредственных корреляционных функций от отношения интервала выборки к времени корреляции процесса:

а — при постоянном времени осреднения; б — при постоянном объеме выборки для $\rho_1(\tau) = \exp\{-a|\tau|\}$; $\rho_2(\tau) = \exp\{-a^2\tau^2\}$; $\rho_3(\tau) = \sin a\tau/a\tau$; $\rho_4(\tau) = \exp\{-a|\tau|\} \cos a\tau$.

некоторым приближением они отражают также соответствующие зависимости и при других τ , если учесть соотношение между $[\sigma_R^2(\tau)/\sigma_R^2(\infty)]_{\text{некр}}$ и $[1+\rho^2(\tau)]$. Как следует из рис. 4, а, для всех $\Delta t \leq 0,15 \tau_{\kappa\xi}$ выборочный алгоритм практически не отличается от непрерывного. При этом предполагается, что используются все $N = \frac{T}{\Delta t}$ пар отсчетов.

Очень часто берут $\Delta t = \Delta\tau$, где $\Delta\tau$ — шаг квантования оценки корреляционной функции по аргументу. Так как $\Delta\tau$ выбирается из условия обеспечения заданной погрешности интерполяции оценки по точкам и имеет порядок $\Delta\tau = (0,01 \div 0,005) \tau_{\kappa\xi}$, то в этом случае для получения достаточной для практики точности в несколько процентов необходимо брать N порядка $10^4 \div 10^5$ и более. Однако число пар отсчетов, используемых для вычисления определенной точки оценки корреляционной функции с той же средней точностью, можно существенно уменьшить, если использовать не все $\frac{T}{\Delta\tau}$ отсчеты, а лишь отстоящие на

$\Delta t \approx (0,1 \div 0,15) \tau_{\kappa\xi}$, или использовать слабо коррелированные отсчеты. При этом дисперсия останется практически равной дисперсии непрерывного алгоритма, но получится выигрыш в объеме вычислительных работ, причем тем больший, чем больше точек оценки при данном T и Δt вычисляется.

Увеличение дисперсии при несоблюдении условия некоррелированности выборки наглядно иллюстрирует рис. 4, б. Как видим, наиболее резкое увеличение характерно для дисперсии оценки корреляционной функции $R(\tau) = R(0) \exp{-(\alpha\tau)^2}$. Объясняется это тем, что при том же значении $\frac{\Delta t}{\tau_{k\xi}}$ осредняемые отсчеты при данной функции более

коррелированы по сравнению с отсчетами при других функциях. Так, при $\Delta t = 0,1 \tau_{k\xi}$ имеем: $\rho_{1x}(\Delta t; \tau = 0) = 0,55$; $\rho_{2x} = 0,94$; $\rho_{3x} = 0,206$. При других алгоритмах вид кривых (см. рис. 4) останется примерно таким же, а при $\Delta t \geq (0,5 \div 0,7) \tau_{k\xi}$ совпадение будет точным. Отличие будет только в масштабе по оси ординат, который можно определить для данного вида функции $\rho(\tau)$ из сравнения соотношений (8) — (11) и (17) — (23). Для сравнения на рис. 4, а представлены значения $\frac{\sigma_{R \text{ выб}}(\tau)}{\sigma_{R \text{ непр}}(\tau)}$ при $\Delta t = \tau_{k\xi}$ для релейного ($1', 2'$) и полярного ($1'', 2''$) алгоритмов при $\tau = \infty$ и релейного при $\tau = 0$ ($1_0', 2_0'$) для двух функций $\rho_1(\tau) = e^{-\alpha|\tau|}$ и $\rho_2(\tau) = e^{-(\alpha\tau)^2}$ (см. также рис. 2, б, точки 1, 2). Как видим, при знаковых алгоритмах увеличение интервала выборки Δt при $T = \text{const}$ приводит к более резкому увеличению дисперсии по сравнению с непосредственным.

ДИСПЕРСИЯ ОЦЕНОК НОРМИРОВАННЫХ КОРРЕЛЯЦИОННЫХ ФУНКЦИЙ

1. *Математическое ожидание оценки.* Следуя [6], будем под нормированной автокорреляционной функцией понимать

$$\rho_{\xi\xi}(\tau) = \frac{R_{\xi\xi}(\tau)}{R_{\xi\xi}(0)}, \quad (24a)$$

а под нормированной взаимной корреляционной функцией

$$\rho_{\xi\eta}(\tau) = \frac{R_{\xi\eta}(\tau)}{\sqrt{R_{\xi\xi}(0) R_{\eta\eta}(0)}}. \quad (24b)$$

В дальнейшем будем всюду рассматривать функцию $\rho_{\xi\xi}(\tau)$, опуская слово «авто». Отличие в вычислении $\rho_{\xi\eta}(\tau)$ будет оговорено отдельно.

В общем виде оценка нормированных автокорреляционных функций может быть представлена как

$$\rho_{\xi\xi}^*(\tau) = F \{ \rho_{f_1(\xi) f_2(\xi)}^*(\tau) \}, \quad (25)$$

где F — некоторая функция, определяемая видом связи $\rho_{\xi\xi}(\tau)$ с $\rho_{f_1(\xi) f_2(\xi)}(\tau)$, а

$$\rho_{f_1(\xi) f_2(\xi)}^*(\tau) = \frac{R_{f_1(\xi) f_2(\xi)}^*(\tau)}{R_{f_1(\xi) f_2(\xi)}^*(0)}. \quad (26)$$

Так как при определении корреляции всегда стремятся к тому, чтобы выполнялось условие $\delta_R^2(\tau) \ll 1$, с большой вероятностью можно утверждать, что отклонение оценок $R^*(\tau)$ и $R^*(0)$ относительно математического ожидания будет находиться в достаточно узкой полосе. Поэтому функцию (26) можно разложить в ряд Тейлора в точке $(M\{R^*(\tau)\}, M\{R^*(0)\})$. С учетом (3) это разложение с точностью до первых членов имеет вид

$$\rho_{f_1(\xi) f_2(\xi)}^*(\tau) \approx \rho_{f_1(\xi) f_2(\xi)}(\tau) \left[1 - \frac{R_{f_1(\xi) f_2(\xi)}^*(0) - R_{f_1(\xi) f_2(\xi)}(0)}{R_{f_1(\xi) f_2(\xi)}(0)} + \right. \\ \left. + \frac{R_{f_1(\xi) f_2(\xi)}^*(\tau) - R_{f_1(\xi) f_2(\xi)}(\tau)}{R_{f_1(\xi) f_2(\xi)}(\tau)} \right]. \quad (27)$$

Из (27) имеем

$$M\{\rho_{f_1(\xi) f_2(\xi)}^*(\tau)\} \approx \rho_{f_1(\xi) f_2(\xi)}(\tau). \quad (28)$$

Аналогично можно показать, что соотношение, подобное (28), выполняется и для оценки нормированной взаимной корреляционной функции.

Рассматривая совместно (28), (4) и (5), видим, что для непосредственного и релейного алгоритмов в качестве оценки $\rho_{\xi\xi}^*(\tau)$ можно использовать (26). Для полярного алгоритма в силу того, что $R^{\text{sign } \xi \text{ sign } \xi}(0) = 1$, $\rho_{\text{sign } \xi \text{ sign } \xi}^*(\tau) = R_{\text{sign } \xi \text{ sign } \xi}^*(\tau)$. Поэтому в качестве оценки $\rho_{\xi\xi}^*(\tau)$ при полярном алгоритме можно взять функцию

$$\rho_{\pi}^*(\tau) = \sin \left[\frac{\pi}{2} \rho_{\text{sign } \xi \text{ sign } \xi}^*(\tau) \right]. \quad (29)$$

В некоторых задачах преобразования (29) можно не производить. В этом случае погрешность полярного алгоритма необходимо оценивать по формулам предыдущего раздела.

Можно показать [7, 9], что при большом объеме исходных данных

$$M\{\rho_{\pi}^*(\tau)\} \approx \rho_{\xi\xi}(\tau).$$

Сложная зависимость (4) не позволяет указать в общем виде функцию F для цифро-полярного алгоритма. Здесь в качестве оценки можно использовать $\rho_{\xi_{KB} \text{ sign } \xi}^*(\tau)$, а в полученном результате учитывать систематическую абсолютную ошибку $\rho_{\xi\xi}(\tau) - \rho_{\xi_{KB} \text{ sign } \xi}^*(\tau)$ при данном числе уровней квантования [12]. Если же цифро-полярный алгоритм используется при относительном интервале квантования по уровню $\beta \leq 1$ (шесть и более уровней квантования на вероятностном диапазоне), то в качестве оценки $\rho_{\xi\xi}^*(\tau) \leq 0,9$ можно использовать [12] функцию

$$\rho_{\pi - II I}^*(\tau) = \left[1 - \frac{\beta^2}{24} (1 + 0,047\beta^2) \right] \rho_{\xi_{KB} \text{ sign } \xi}^*(\tau) \quad (30)$$

или

$$\rho_{\pi - II II}^*(\tau) = \left[1 + \frac{\beta^2}{12} (1 + 0,027\beta^2) \right] \rho_{\xi_{KB} \text{ sign } \xi}^*(\tau), \quad (31)$$

а при $0,9 \leq \rho_{\xi\xi}^*(\tau) \leq 1$ — функцию $\rho_{\xi_{KB} \text{ sign } \xi}^*(\tau)$ с учетом соответствующих систематических поправок (рис. 5, a). Здесь символы *I* или *II* указывают на тип применяемого квантователя. При $\beta \leq 0,4$ (15 и более уровней) можно непосредственно использовать оценку $\rho_{\xi_{KB} \text{ sign } \xi}^*(\tau)$. Во всех случаях оценка так же, как и для других алгоритмов, будет асимптотически несмещенной.

2. Дисперсия оценки при некоррелированной выборке. Для всех алгоритмов дисперсия оценки нормированной корреляционной функции связана с дисперсией оценки $\rho_{f_1(\xi) f_2(\xi)}^*(\tau)$.

Используя разложение (27) и учитывая (12), имеем

$$\sigma^2 [\rho_{f_1(\xi)f_2(\xi)}^*(\tau)] = M \{ [\rho_{f_1(\xi)f_2(\xi)}^*(\tau) - \rho_{f_1(\xi)f_2(\xi)}(\tau)]^2 \} = \delta^2 [R_{f_1(\xi)f_2(\xi)}^*(\tau)] -$$

где $- 2\rho_{f_1(\xi)f_2(\xi)}(\tau) \lambda(\tau) + \rho_{f_1(\xi)f_2(\xi)}^2(\tau) \delta^2 [R_{f_1(\xi)f_2(\xi)}^*(0)], \quad (32)$

$$\lambda(\xi) = \frac{1}{R_{f_1(\xi)f_2(\xi)}^2(0)} [M \{ R_{f_1(\xi)f_2(\xi)}^*(\xi) R_{f_1(\xi)f_2(\xi)}^*(0) \} - R_{f_1(\xi)f_2(\xi)}(\tau) R_{f_1(\xi)f_2(\xi)}(0)]. \quad (33)$$

Подставляя в (32) значения $\delta_R^2(\tau)$ и $\lambda(\tau)$ (см. приложение 2) для некоррелированной выборки, получаем:
для непосредственного алгоритма

$$\sigma^2 [\rho_{EE}^*(\tau)] = \frac{1}{N} [1 - \rho_{EE}^2(\tau)]; \quad (34)$$

для релейного алгоритма

$$\begin{aligned} \sigma^2 [\rho_{E \text{ sign } \xi}^*(\tau)] &= \frac{1}{N} \left\{ \frac{\pi}{2} [1 + \rho_{EE}^2(\tau)] - 2\rho_{EE}(\tau) [\rho_{EE}(\tau) \sqrt{1 - \rho_{EE}^2(\tau)} + \right. \\ &\quad \left. + \arcsin \rho_{EE}(\tau)] \right\} \leq \frac{\pi}{2N} [1 - \rho_{EE}^2(\tau)]; \end{aligned} \quad (35)$$

для полярного алгоритма $\sigma^2 [\rho_{\text{sign } \xi \text{ sign } \xi}^*(\tau)] = \sigma^2 [R_{\text{sign } \xi \text{ sign } \xi}^*(\tau)]$. Следовательно, используя первые два члена разложения функции (29) в ряд, находим

$$\begin{aligned} \sigma^2 [\rho_n^*(\tau)] &\approx \left[\frac{d \rho_n}{d \rho_{\text{sign } \xi \text{ sign } \xi}} \right]^2 \sigma^2 [\rho_{\text{sign } \xi \text{ sign } \xi}^*(\tau)] = \\ &= \frac{\pi^2}{4} [1 - \rho_{EE}^2(\tau)] \sigma^2 [R_{\text{sign } \xi \text{ sign } \xi}^*(\tau)]. \end{aligned} \quad (36)$$

Соотношение (36) пригодно как для выборочного, так и для непрерывного алгоритма. В частности, при некоррелированной парной выборке подстановкой в (36) значения $\sigma^2 [R_{\text{sign } \xi \text{ sign } \xi}^*(\tau)]$ получим известный [7, 9] результат:

$$\sigma^2 [\rho_n^*(\tau)] \approx \frac{\pi^2}{4N} [1 - \rho_{EE}^2(\tau)] \left\{ 1 - \left[\frac{2}{\pi} \arcsin \rho_{EE}(\tau)^2 \right] \right\}. \quad (37)$$

Из (37) следует

$$\frac{\pi^2}{4N} [1 - \rho_{EE}^2(\tau)]^2 \leq \sigma^2 [\rho_n^*(\tau)] \leq \frac{\pi^2}{4N} [1 - \rho_{EE}^2(\tau)] \left[1 - \frac{4}{\pi^2} \rho_{EE}^2(\tau) \right]. \quad (38)$$

Для цифро-полярного алгоритма в общем виде найти $\sigma^2 [\rho_{\xi_{KB} \text{ sign } \xi}^*(\tau)]$, а тем более $\sigma^2 [\rho_{n-n}^*(\tau)]$ затруднительно. Для него укажем лишь оценку сверху, которая с учетом (35) и (38) имеет вид

$$\sigma^2 [\rho_{n-n}^*(\tau)] \leq [1 - \rho_{EE}^2(\tau)] \sigma^2 [\rho_{n-n}(\infty)].$$

Как следует из (32), независимо от алгоритма

$$\lim_{\tau \rightarrow \infty} \sigma^2 [\rho_{f_1(\xi)f_2(\xi)}^*(\tau)] = \delta^2 [R_{f_1(\xi)f_2(\xi)}^*(\tau)]. \quad (39)$$

Данное равенство очевидно из (27), так как при $\tau \rightarrow \infty$ наибольшее влияние на значение $\rho^*(\tau)$ оказывает последний член разложения.

Из (4) можно показать, что при $\rho(\tau) \rightarrow 0$ справедливо соотношение

$$\rho_{\xi_{KB}} \operatorname{sign} \xi(\tau) \rightarrow \gamma \rho_{\xi\xi}(\tau), \quad (40)$$

где γ определяется выражением (20). Поэтому из (39) и (40) с учетом (8) и предельных соотношений (35), (38) получаем

$$\sigma^2 [\rho_{\xi\xi}^* - \rho(\tau)] \leq \frac{1 - \rho_{\xi\xi}^2(\tau)}{N} \frac{\sigma_{\xi_{KB}}^2}{\gamma^2 R_{\xi_{KB}}^2 \operatorname{sign} \xi(0)}. \quad (41)$$

Для рассматриваемых алгоритмов зависимость $\sigma_\rho(\tau) = \delta_\rho(\tau)$ от значений $|\rho_{\xi\xi}(\tau)|$ представлена на рис. 5, б. Как видим, в среднем по кривой наибольшие погрешности имеет полярный алгоритм, наименьшие — непосредственный и релейный.

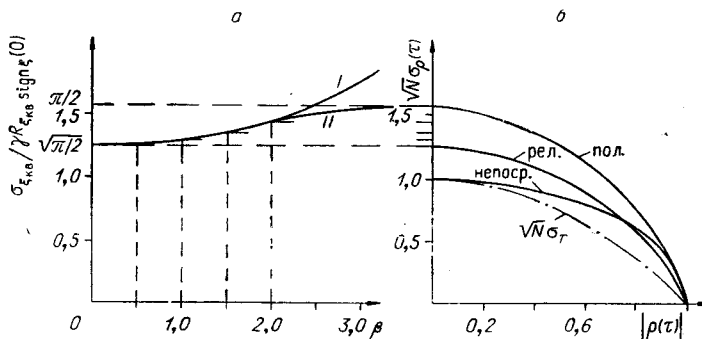


Рис. 5. Соотношение между среднеквадратическими отклонениями оценок нормированных автокорреляционных функций, получаемых осреднением некоррелированных парных выборок.

Используя показанный выше метод разложения оценки в ряд Тейлора, нетрудно убедиться, что для непосредственной оценки (24б) нормированной взаимной корреляционной функции справедливо соотношение

$$\sigma^2 [\rho_{\xi\eta}^*(\tau)] = \frac{1}{N} [1 - 2\rho_{\eta\eta}(\tau) \rho_{\xi\eta}(0) \rho_{\xi\eta}(\tau) + \rho_{\xi\eta}^2(0) \rho_{\xi\eta}^2(\tau)]. \quad (42)$$

Из (42) при $\xi(t) = \eta(t)$ получаем (34), а при $\tau = 0$ следует, что дисперсия нормированной взаимной корреляционной функции совпадает с дисперсией $\sigma_{\xi\eta}^*$ оценки коэффициента корреляции $r_{\xi\eta}$ случайных величин ξ и η [6] (см. рис. 5, б, кривая σ_r). Как следует из (42), $\sigma^2 [\rho_{\xi\eta}^*(\tau)]$ зависит от вида $\rho_{\eta\eta}(\tau)$ и $\rho_{\xi\eta}(\tau)$ и необязательно при $\rho_{\xi\eta}(\tau) = 1$ будет равна нулю, если только при этом $\tau \neq 0$. Однако независимо от $\rho_{\eta\eta}(\tau)$ и $\rho_{\xi\eta}(\tau)$ справедливо неравенство

$$\frac{1}{N} [1 - |\rho_{\xi\eta}(0) \rho_{\xi\eta}(\tau)|]^2 \leq \sigma^2 [\rho_{\xi\eta}^*(\tau)] \leq \frac{1}{N} [1 + |\rho_{\xi\eta}(0) \rho_{\xi\eta}(\tau)|]^2. \quad (43)$$

При других алгоритмах в качестве оценки нормированной взаимной корреляционной функции можно взять $\rho_{\xi\eta}^*(\tau) = F[\rho_{f_1(\xi)f_2(\eta)}^*(\tau)]$, где

$$\rho_{f_1(\xi)f_2(\eta)}^*(\tau) = \frac{R_{f_1(\xi)f_2(\eta)}(\tau)}{R_{f_1(\xi)f_2(\xi)}(0)}.$$

Для полярного алгоритма эта оценка полностью совпадает с оценкой нормированной автокорреляционной функции и, следовательно, дисперсии оценок также совпадают. Для релейного и цифро-полярного алгоритмов в общем случае такого совпадения дисперсий оценок нет (в от-

личие от дисперсий оценок ненормированных корреляционных функций). Отличие дисперсий может быть приближенно оценено на основе сравнения дисперсий непосредственных оценок нормированных авто- и взаимных корреляционных функций.

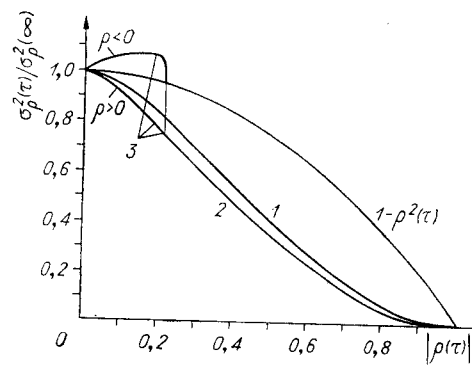
Сравнение рис. 2, 3 и 5 показывает, что при той же выборке дисперсия оценок нормированных корреляционных функций меньше ненормированных дисперсий оценок авто- и взаимных корреляционных функций. Особенно большой выигрыш получается при близких к единице значениях $\rho(\tau)$. Поэтому в тех задачах, где важна только форма корреляционных функций, целесообразнее вычислять нормированные корреляционные функции, особенно при больших значениях $\rho(\tau)$. Или вычислять отдельно $\rho(\tau)$ и более точно σ_ξ и σ_η при вычислении авто- и взаимных корреляционных функций.

3. *Дисперсия при коррелированной выборке и непрерывном алгоритме.* Общее соотношение для дисперсии оценок нормированных авторелационных функций, полученных непрерывным осреднением, выражается сравнительно просто лишь для непосредственного алгоритма, для которого [5]

$$\hat{\rho}(\tau) = \frac{2}{T} \int_0^T \left(1 - \frac{\theta}{T}\right) \rho_{\xi\xi}(\theta) [\rho_{\xi\xi}(\theta + \tau) + \rho_{\xi\xi}(\theta - \tau)] d\theta; \quad (44)$$

$$\begin{aligned} \sigma^2 [\rho_{\xi\xi}^*(\tau)] &\approx \frac{2}{T} \int_0^\infty [\rho_{\xi\xi}^2(\theta) [1 + 2\rho_{\xi\xi}^2(\tau)] + \\ &+ \rho_{\xi\xi}(\theta + \tau) \rho_{\xi\xi}(\theta - \tau) - 2\rho_{\xi\xi}(\tau) \rho_{\xi\xi}(\theta) [\rho_{\xi\xi}(\theta + \tau) + \rho_{\xi\xi}(\theta - \tau)]] d\theta. \end{aligned} \quad (45)$$

Из (45) следует, что при непрерывном осреднении вид $\sigma_\rho^2(\rho)$ зависит от вида функции $\rho(\tau)$. Для рассмотренных ранее функций $\rho(\tau)$ эта зависимость иллюстрируется рис. 6. На рис. 6 не отражены дисперсии оценок функций $\rho_4(\tau) = \exp\{-\alpha|\tau|\} \cos \omega t$ и $\rho_5(\tau) = \exp\{-(\alpha\tau)^2\} \cos \omega t$. Однако нетрудно показать, что при одинаковых значениях $|\rho(\tau)|$ кривые, соответствующие $\rho_4(\tau)$ и $\rho_5(\tau)$, располагаются ниже кривых для $\rho_1(\tau) = \exp\{-\alpha|\tau|\}$ и $\rho_2(\tau) = \exp\{-(\alpha\tau)^2\}$. Учитывая сказанное, из рис. 6 видим, что, за исключением $\rho_3(\tau) = \frac{\sin \alpha \tau}{\alpha \tau}$, кривые отношения



дисперсий $\frac{\sigma_\rho^2(\tau)}{\sigma_\rho^2(\infty)}$ при непрерывном способе осреднения располагаются ниже кривой, отражающей зависимость дисперсии при осреднении по некоррелиро-

Рис. 6. Соотношение между $\sigma_\rho^2(\tau)/\sigma_\rho^2(\infty)$ для непосредственного алгоритма при осреднении некоррелированных парных выборок и при непрерывном осреднении, когда $\rho_1(\tau) = \exp\{-\alpha|\tau|\}; \rho_2(\tau) = \exp\{-(\alpha\tau)^2\}; \rho_3(\tau) = \sin \alpha \tau / \alpha \tau$.

ванной выборке. Но хотя значения отношения для $\rho_3(\tau)$ при $|\rho(\tau)| < 0,22$ больше $[1 - \rho^2(\tau)]$, это превышение составляет менее 10% от $[1 - \rho^2(\tau)]$. Поэтому практически вместо (45) можно пользоваться соотношением*

* Это справедливо по крайней мере для $\rho(\tau)$, подобных рассмотренным.

$$\sigma^2 [\rho_{\xi\xi}^*(\tau)] \leq [1 - \rho_{\xi\xi}^2(\tau)] \frac{2}{T} \int_0^\infty \rho_{\xi\xi}^2(\theta) d\theta. \quad (45a)$$

Также, учитывая (35), (39) и (42), имеем для других алгоритмов:

$$\sigma^2 [\rho_{\xi \text{ sign } \xi}^*(\tau)] \leq [1 - \rho_{\xi\xi}^2(\tau)] \frac{\pi}{T} \int_0^\infty \rho_{\xi\xi}^2(\theta) d\theta; \quad (46)$$

$$\sigma^2 [\rho_{\eta}^*(\tau)] \leq [1 - \rho_{\xi\xi}^2(\tau)] \frac{\pi^2}{2T} \int_0^\infty \rho_{\xi\xi}^2(\theta) d\theta; \quad (47)$$

$$\sigma^2 [\rho_{\eta - \eta}^*(\tau)] \leq [1 - \rho_{\xi\xi}^2(\tau)] \frac{2\sigma_{\xi_{KB}}^2}{T \gamma^2 R_{\xi_{KB}}^2 \text{sign } \xi(0)} \int_0^\infty \rho_{\xi\xi}^2(\theta) d\theta. \quad (48)$$

Правые сомножители соотношений (45a) — (48) являются значениями дисперсии оценок нормированной корреляционной функции при $\tau \rightarrow \infty$. Поэтому, считая, что для всех алгоритмов и способов осреднения справедливо равенство $\sigma^2[\rho(\infty)] = \delta^2[R(\infty)]$, можно к дисперсии оценок нормированных корреляционных функций полностью применить проведенный ранее анализ сходимости выборочного алгоритма к непрерывному и влияния коррелированности выборки на дисперсию оценки, учитывая при этом соотношение между кривыми 1—3 и $[1 - \rho^2(\tau)]$ рис. 6.

Соотношения для дисперсий оценок нормированных взаимных корреляционных функций могут быть найдены аналогично. Для непосредственного алгоритма значения дисперсий определяются формулой:

$$\begin{aligned} \sigma^2 [\rho_{\xi\eta}^*(\tau)] &= \frac{1}{T} \int_{-T}^T \left(1 - \frac{|\theta|}{T}\right) [\rho_{\xi\xi}(\theta) \rho_{\eta\eta}(\theta) + \rho_{\xi\eta}(\theta + \tau) \rho_{\xi\eta}(\tau - \theta) + \\ &+ \frac{1}{2} \rho_{\xi\eta}^2(\tau) [\rho_{\xi\xi}^2(\theta) + \rho_{\eta\eta}^2(\theta) + 2\rho_{\xi\eta}^2(\theta)] - \\ &- 2\rho_{\xi\eta}(\tau) [\rho_{\xi\xi}(\theta) \rho_{\xi\eta}(\theta + \tau) + \rho_{\xi\eta}(\theta) \rho_{\eta\eta}(\theta + \tau)]] d\theta. \end{aligned} \quad (49)$$

При $\xi(t) = \eta(t)$ из (49) получаем частный случай (45).

ВЫВОДЫ

При равных условиях (нахождение оценок нормированных корреляционных функций по тем же данным) знаковые алгоритмы по сравнению с непосредственным дают в среднем по кривой большие значения дисперсий оценок при выборочном осреднении и могут дать примерно одинаковые дисперсии при непрерывном осреднении.

Для всех алгоритмов и способов осреднения относительные дисперсии оценок нормированных корреляционных функций при значительной корреляции во много раз меньше относительных дисперсий оценок ненормированных корреляционных функций и не превышают последние при любых значениях $\rho(\tau)$.

При всех алгоритмах с выборочным осреднением целесообразно брать интервал выборки из условия $\Delta\tau \ll \Delta t \ll (0,1 \div 0,2) \tau_{\xi KB}$. При этом, практически не увеличивая погрешности измерения по тем же экспериментальным данным, можно существенно уменьшить объем вычислений

по сравнению с осреднением, когда $\Delta t = \Delta\tau$. Увеличение интервала выборки приводит к более резкому увеличению дисперсий выборочных оценок нормированных корреляционных функций по сравнению с дисперсиями выборочных оценок ненормированных корреляционных функций, особенно при значительной корреляции.

В заключение автор считает своим приятным долгом поблагодарить канд. техн. наук В. И. Юшина, замечания которого способствовали улучшению работы.

ПРИЛОЖЕНИЕ 1

Так как

$$\sigma^2[R^*(\tau)] = M\{R^{*2}(\tau) - R^2(\tau)\}, \text{ а } R^*(\tau) = \frac{1}{N} \sum_{n=1}^N x(n \Delta t; \tau), \quad (\Pi 1.1)$$

имеем

$$\sigma^2[R_{f_1(\xi)f_2(\eta)}^*(\tau)] = M\left\{\frac{1}{N^2} \sum_{t=1}^N \sum_{j=1}^N x(i \Delta t; \tau) x(j \Delta t; \tau)\right\} - R_{f_1(\xi)f_2(\eta)}^2(\tau). \quad (\Pi 1.2)$$

Меняя местами операции суммирования и осреднения и учитывая, что для стационарных процессов

$$\begin{aligned} M\{x(t; \tau) x(t + \theta; \tau)\} &= R_x(0; \tau) + M\{x(t; \tau)\} \times \\ &\times M\{x(t + \theta; \tau)\} = R_x(0; \tau) + R_{f_1(\xi)f_2(\eta)}^2(\tau), \end{aligned} \quad (\Pi 1.3)$$

из (П1.2) получаем

$$\sigma^2[R_{f_1(\xi)f_2(\eta)}^*(\tau)] = \frac{1}{N^2} \sum_{t=1}^N \sum_{j=1}^N R_x((j-i) \Delta t; \tau). \quad (\Pi 1.4)$$

При $j-i=k$ $N-|k|$ слагаемые двойной суммы из (П1.4) имеют одинаковые значения. Поэтому, учитывая четность $R_x(0; \tau)$ по отношению к θ , имеем

$$\begin{aligned} \sigma^2[R_{f_1(\xi)f_2(\eta)}^*(\tau)] &= \frac{1}{N^2} \sum_{k=-(|N-1|)}^{N-1} (N-|k|) R_x(k \Delta t; \tau) = \\ &= \frac{1}{N} \left[R_x(0; \tau) + 2 \sum_{k=1}^{N-1} \left(1 - \frac{k}{N}\right) R_x(k \Delta t; \tau) \right]. \end{aligned} \quad (\Pi 1.5)$$

Из (П1.5) следует, что для некоррелированной выборки, т. е. при $\Delta t > \tau_{k_x}$,

$$\sigma^2[R_{f_1(\xi)f_2(\eta)}^*(\tau)] = \frac{1}{N} R_x(0; \tau). \quad (\Pi 1.6)$$

Для нормальных стационарных процессов имеем:
для алгоритма непосредственных вычислений [6]

$$R_x(0; \tau) = R_{\xi\xi}(0) R_{\eta\eta}(0) + R_{\xi\eta}(0 + \tau) R_{\xi\eta}(\tau - 0); \quad (\Pi 1.7)$$

для релейного алгоритма [8]

$$R_x(0; \tau) = \sigma_\xi^2 \left[1 - \frac{2}{\pi} \rho_{\xi\eta}^2(\tau) \right]; \quad (\Pi 1.8a)$$

$$R_x(0; \infty) = \frac{2}{\pi} \sigma_\xi^2 \rho_{\xi\xi}(0) \arcsin \rho_{\eta\eta}(0); \quad (\Pi 1.8b)$$

для $\xi(t) = \eta(t)$

$$R_x(0; 0) = \frac{2}{\pi} \sigma_\xi^2 \left[\rho_{\xi\xi}(0) \arcsin \rho_{\xi\xi}(0) + \sqrt{1 - \rho_{\xi\xi}^2(0)} - 1 \right]; \quad (\text{П1.8в})$$

для полярного алгоритма

$$R_x(0; \tau) = 1 - \left[\frac{2}{\pi} \arcsin \rho_{\xi\eta}(\tau) \right]^2; \quad (\text{П1.9а})$$

$$R_x(0; \infty) = \frac{4}{\pi^2} \arcsin \rho_{\xi\xi}(0) \arcsin \rho_{\eta\eta}(0); \quad (\text{П1.9б})$$

для $\xi(t) = \eta(t)$

$$R_x(0; 0) = 0; \quad (\text{П1.9в})$$

для цифро-полярного алгоритма

$$R_x(0; \tau) = \sigma_{\xi_{\text{KB}}}^2 - R_{\xi_{\text{KB}}}^2 \operatorname{sign} \eta(\tau); \quad (\text{П1.10а})$$

$$R_x(0; \infty) = \frac{2}{\pi} R_{\xi_{\text{KB}}} \xi_{\text{KB}}(0) \arcsin \rho_{\eta\eta}(0). \quad (\text{П1.10б})$$

Подставляя (П1.7) — (П1.10) в (П1.5) и (15), получаем (7) — (11) и (17) — (19).

ПРИЛОЖЕНИЕ 2

Функцию $\lambda(\tau)$ можно найти, проделав операции, аналогичные операциям при доказательстве $\sigma_R^2(\tau)$. Действительно, так как

$$\lambda(\tau) = \frac{1}{R^2(0)} [M\{R^*(\tau) R^*(0)\} - R(\tau) R(0)], \quad (\text{П2.1})$$

то, подставляя в (П2.1) значения $R^*(\tau)$ и $R^*(0)$ из (1), получаем

$$\lambda(\tau) = \frac{1}{N^2 R_{f_1(\xi)f_2(\xi)}^2(0)} \sum_{i=1}^N \sum_{j=1}^N M\{\chi(i \Delta t; \tau) \chi(j \Delta t; 0)\} - \rho_{f_1(\xi)f_2(\xi)}(\tau). \quad (\text{П2.2})$$

Из (П2.2) нетрудно получить значение $\lambda(\tau)$ для выборочного осреднения некоррелированных отсчетов:

$$\begin{aligned} \lambda(\tau) &= \frac{1}{N^2 R_{f_1(\xi)f_2(\xi)}^2(0)} [N(N-1) M\{\chi(i \Delta t; \tau)\} M\{\chi(j \Delta t; 0)\} + \\ &\quad + NM\{\chi(i \Delta t; \tau) \chi(i \Delta t; 0)\}] - \rho_{f_1(\xi)f_2(\xi)}(\tau) = \\ &= \frac{1}{N} \left[\frac{1}{R_{f_1(\xi)f_2(\xi)}^2(0)} M\{f_1^2[\xi(t)] f_2[\xi(t)] f_2[\xi(t+\tau)]\} - \rho_{f_1(\xi)f_2(\xi)}(\tau) \right]. \quad (\text{П2.3}) \end{aligned}$$

Для алгоритма непосредственных вычислений имеем [6]

$$M\{f_1^2[\xi(t)] f_2[\xi(t)] f_2[\xi(t+\tau)]\} = M\{\xi^3(t) \xi(t+\tau)\} = 3R_{\xi\xi}(0) R_{\xi\xi}(\tau).$$

Следовательно,

$$\lambda(\tau) = \frac{2}{N} \rho_{\xi\xi}(\tau). \quad (\text{П2.4})$$

Для релейного алгоритма

$$\begin{aligned} M\{f_1^2[\xi(t)] f_2[\xi(t)] f_2[\xi(t+\tau)]\} &= M\{\xi^2(t) \operatorname{sign} \xi(t) \operatorname{sign} \xi(t+\tau)\} = \\ &= \frac{2}{\pi} \sigma_\xi^2 [\rho_{\xi\xi}(\tau) \sqrt{1 - \rho_{\xi\xi}^2(\tau)} + \arcsin \rho_{\xi\xi}(\tau)] \end{aligned}$$

и

$$\lambda(\tau) = \frac{1}{N} [\rho_{\xi\xi}(\tau) \sqrt{1 - \rho_{\xi\xi}^2(\tau)} + \arcsin \rho_{\xi\xi}(\tau) - \rho_{\xi\xi}(\tau)]. \quad (\text{П2.5})$$

Наконец, для полярного алгоритма

$$M \{[\operatorname{sign} \xi(t)]^3 \operatorname{sign} \xi(t + \tau)\} = \frac{2}{\pi} \arcsin \rho_{\xi\xi}(\tau)$$

и

$$\lambda(\tau) = 0. \quad (\text{П2.6})$$

Подставляя (П2.4) — (П2.6) в (32), получаем (34), (35) и подтверждение равенства $\sigma^2 [\operatorname{sign} \xi \operatorname{sign} \xi(\tau)] = \sigma^2 [R_{\operatorname{sign} \xi \operatorname{sign} \xi}^*(\tau)]$.

В заключение получим значение $\lambda(\tau)$ для алгоритма непосредственного осреднения коррелированных отсчетов. Для непосредственного алгоритма справедливо равенство [6]

$$\begin{aligned} M \{x(t; \tau) x(t + \theta; 0)\} &= M \{\xi(t) \xi(t + \tau) \xi^2(t + \theta)\} = \\ &= R_{\xi\xi}(\theta) [R_{\xi\xi}(\theta + \tau) + R_{\xi\xi}(\theta - \tau)]. \end{aligned} \quad (\text{П2.7})$$

Подставляя (П2.7) в (П2.2), после подсчета числа одинаковых слагаемых получаем

$$\lambda(\tau) = \frac{2}{N} \left\{ \rho_{\xi\xi}(\tau) + \sum_{k=1}^{N-1} \left(1 - \frac{k}{N} \right) \rho_{\xi\xi}(k \Delta t) [\rho_{\xi\xi}(k \Delta t + \tau) + \rho_{\xi\xi}(k \Delta t - \tau)] \right\}. \quad (\text{П2.8})$$

Отсюда, полагая $\Delta t \rightarrow 0$ при $N\Delta t = T = \text{const}$, получаем (44) — значение $\lambda(\tau)$ для непрерывного способа осреднений.

Л И Т Е Р А Т У Р А

1. Ф. Н. Ланге. Корреляционная электроника. Л., Судпромгиз, 1963.
2. Б. С. Синицын. Автоматические корреляторы и их применение. Новосибирск, Изд-во СО АН СССР, 1964.
3. Г. Я. Мирский. Аппаратурное определение характеристик случайных процессов. М.—Л., «Энергия», 1967.
4. K. Krepler, G. W. Werner. Korrelatoren mit Amplitudenquantisierung. — Messen—Steuern—Regeln, 1964, J. 7, N. 4.
5. Б. Н. Кутин. О вычислении корреляционной функции стационарного случайного процесса по экспериментальным данным. — Автоматика и телемеханика, 1957, № 3.
6. Н. А. Лившиц, В. Н. Пугачев. Вероятностный анализ систем автоматического управления. М., «Советское радио», 1963.
7. Ю. К. Постоенко. Некоторые вопросы исследования статистических погрешностей электронных корреляторов. — Научные труды СибВИМ, вып. 2. Новосибирск, 1964.
8. В. В. Губарев, Ю. К. Постоенко. Вопросы построения структур и исследование методических погрешностей СВУ для обработки случайных процессов. — Автоматическое управление, вычислительная техника. Материалы симпозиума молодых ученых и специалистов, вып. 1. Новосибирск, Зап.-Сиб. кн. изд-во, 1968.
9. D. S. Ruchkin. Error of Correlation Coefficient Estimates from Polarity Coincidences. — Trans. IEEE, Inform. Theory, 1965, v. 11, № 2.
10. A. T. Fullagar. Sampling Errors in the Measurement of Autocorrelation. — Journal of Electronics and Control, 1958, v. IV, № 6.
11. K. Märg. Der mittlere Fehler von Kurzzeit-Korrelationsfunktionen. — NTZ, 1965, J. 18, N. 18.
12. В. В. Губарев. О цифровом варианте релейных корреляционных измерений. — Автоматическое управление, вычислительная техника. Материалы симпозиума молодых ученых и специалистов, вып. 1. Новосибирск, Зап.-Сиб. кн. изд-во, 1968.

Поступила в редакцию
5 мая 1967 г.
окончательный вариант —
17 октября 1967 г.